

## خشک کردن قارچ دکمه ای با استفاده از سامانه مادون قرمز-هوای داغ

فخرالدین صالحی<sup>۱\*</sup>، مهدی کاشانی نژاد<sup>۲</sup>، علیرضا صادقی ماهونک<sup>۲</sup>،  
امان محمد ضیائی فر<sup>۳</sup>

۱- استادیار گروه علوم و صنایع غذایی، دانشگاه بولعلی سینا، همدان.

۲- دانشیار، دانشکده صنایع غذایی، دانشگاه علوم کشاورزی و منابع طبیعی گرگان.

۳- استادیار، دانشکده صنایع غذایی، دانشگاه علوم کشاورزی و منابع طبیعی گرگان.

(تاریخ دریافت: ۹۳/۴/۲۵ تاریخ پذیرش: ۹۳/۷/۲)

### چکیده

در این پژوهش جهت خشک کردن قارچ دکمه ای از خشک کن ترکیبی مادون قرمز (۱۵۰، ۲۵۰ و ۳۷۵ وات)، دمای هوای داغ (۵۰، ۶۰ و ۷۰ درجه سانتی گراد) و سرعت جريان هوا (۱، ۲ و ۳ متر بر ثانیه) بر خشک کردن قارچ دکمه ای مورد بررسی قرار گرفت. نتایج خشک کردن قارچ دکمه ای به روش مادون قرمز-هوای داغ نشان داد که با افزایش توان لامپ مادون قرمز از ۱۵۰ به ۳۷۵ وات، سرعت خشک شدن افزایش می یابد. با افزایش دمای خشک کن از ۵۰ به ۷۰ درجه سانتی گراد و سرعت جريان هوا از ۱ به ۳ متر بر ثانیه، مقدار کاهش وزن به ترتیب ۱۰/۳ و ۱۲/۹ درصد افزایش یافت. همچنین مدل سازی فرآیند به روش الگوریتم ژنتیک - شبکه عصبی مصنوعی با ۴ ورودی (توان لامپ، دمای هوا، سرعت جريان هوا و زمان خشک کردن) و ۱ خروجی جهت پیشگویی کاهش وزن انجام شد. نتایج آنالیز حساسیت توسط شبکه عصبی بهینه، مدت زمان خشک کردن ورقه های قارچ را به عنوان موثرترین عامل در کنترل کاهش وزن نمونه ها نشان داد. نتایج مدل سازی به روش الگوریتم ژنتیک - شبکه عصبی مصنوعی نشان داد شبکه ای با تعداد ۷ نرون در یک لایه پنهان و با استفاده از تابع فعال سازی سیگموئیدی می توان به خوبی درصد کاهش وزن ( $R=0.99$ ) در طی فرآیند خشک کردن قارچ دکمه ای به روش ترکیبی مادون قرمز-هوای داغ را پیشگویی نمود.

**کلید واژگان:** خشک کردن، شبکه عصبی، قارچ دکمه ای، مادون قرمز، هوای داغ.

## ۱- مقدمه

امروزه پرتوودهی با مادون قرمز (IR) به عنوان منبع انرژی حرارتی برای خشک کردن بسیاری از محصولات کشاورزی مورد توجه قرار گرفته است. پرتو مادون قرمز بخشی از طیف الکترومغناطیسی بوده و به سه دسته مادون قرمز نزدیک با دامنه ۰/۷۵-۱/۴ میکرومتر، مادون قرمز متوسط با دامنه ۱/۴-۳/۰ میکرومتر و مادون قرمز دور با دامنه ۱۰۰-۳-۱۰۰ میکرومتر تقسیم می شود. پرتوودهی با مادون قرمز در مقایسه با روش های حرارت دهی متداول دارای مزایای متعددی است و کیفیت محصول خشک شده بالاتر است. در این روش زمان فرایند کوتاه تر و میزان مصرف انرژی کمتر می باشد. همچنین می توان تجهیزات را فشرده و اتوماتیک نمود و امکان پایش پارامترهای فراوری با دقت بالا وجود دارد [۹]. همچنین کیفیت محصولات خشک شده به این روش در مقایسه با روش های داغ بالاتر می باشد [۱۰]. جذب پرتو توسط مواد غذایی عمده تر به میزان آب، ضخامت و ماهیت فیزیکو شیمیایی محصول بستگی دارد.

افضل و همکاران (۱۹۹۹) میزان مصرف انرژی و کیفیت جو خشک شده را در دو خشک کن همرفتی و ترکیبی مادون قرمز و هوای داغ مقایسه کردند. این محققان گزارش کردند که استفاده از اشعه مادون قرمز در خشک کن همرفتی باعث افزایش سرعت خشک شدن و کاهش قابل توجه انرژی مصرفی جو خشک شده نسبت به خشک کن همرفتی بدون استفاده از اشعه مادون قرمز می شود [۱۱].

امروزه با توسعه فناوری های پردازش رایانه ای، از شبکه های عصبی مصنوعی (ANN)<sup>۱</sup> به طور گسترده ای به منظور مدل سازی فرآیند هایی صنایع غذایی به منظور پیشگویی پارامترهای مورد نظر در طراحی و توسعه سیستم ها استفاده شده است. شبکه های عصبی قادر به مدل سازی سیستم های غیر خطی و پیچیده با تعداد زیادی داده ورودی و خروجی می باشند و در اکثر موارد نتایج قابل قبولی توسط محققان گزارش شده است [۱۲].

توانایی پیشگویی یک شبکه عصبی به ساختار آن وابستگی کامل دارد (نوع تابع فعالسازی، تعداد لایه ها و تعداد نرون های لایه پنهان). تخمین تعداد نرون های لایه پنهان عموماً به وسیله آزمون و خطا انجام می شود که وقت گیر بوده و دارای خطای می باشد. لذا روش های بهینه سازی از قبیل الگوریتم

قارچ دکمه ای (*Agaricus bisporus*) در بین انواع قارچ ها به طور گسترده تری در جهان کشت و مصرف می شود و سهمی در حدود ۴۰٪ از تولید قارچ های جهان را به خود اختصاص می دهد. قارچ ها پس از برداشت بدليل عدم وجود کوتیکول، سرعت بالای تنفس، رطوبت زیاد و فعالیت آنزیمی شدید دارای ماندگاری کمتری نسبت به سایر سبزیجات بوده و به سرعت فاسد می شوند و بلا فاصله پس از برداشت تغییر رنگ آن ها آغاز می شود [۱-۳]. لذا به دلیل گسترش زمان نگهداری، باید تحت فرایند قرار گیرند. از این رو محققین روش های مختلفی نظری استفاده از بسته بندی با اتمسفر تغییر یافته، منجمد کردن، خشک کردن، تیمار با محلول های آبی حاوی ترکیبات مهار کننده فعالیت آنزیمی و بلاج کردن را جهت نگهداری و افزایش زمان ماندگاری قارچ مورد بررسی قرار داده اند [۴]. حذف آب و خشک کردن یکی از معمول ترین روش هایی است که برای قارچهای صدفی مورد استفاده قرار گرفته است و برای انجام این فرایند از خشک کن های مختلفی از قبیل خشک کن کالیستی، هوای داغ، انجام دادی، بستر سیال و خورشیدی استفاده شده است [۷-۵].

ضمن خشک کردن میوه ها و سبزیجات فروپاشی سلولی اتفاق می افتد که نتیجه آن انسداد بیشتر حفرات است که این پدیده فرایند خشک کردن و به دنبال آن باز جذب آب را با مشکل مواجه می کند. در طول خشک کردن با هوای داغ، مقدار فروپاشی سلولی با مقدار افت رطوبت در طول فرایند متناسب است [۷-۸]. این فروپاشی بر آروما، ظرفیت و سرعت باز جذب آب نیز اثر منفی می گذارد. برای حل این مشکل تکنیک های دیگر خشک کردن از قبیل خشک کردن انجام دادی، پفکی و روش های ترکیبی مانند مایکروویو، مادون قرمز، میدان الکتریکی همراه با هوای داغ پیشنهاد شده اند که در این میان روش های ترکیبی گسترش زیادی پیدا کرده اند [۶,۷]. طبق گزارش محققان خشک کن انجام دادی روشنی مناسبی جهت تولید محصولی با ساختار مخلخل و با کیفیت بالا می باشد، اما گران قیمت بوده و برای هر محصولی قابل استفاده نمی باشد. لذا بررسی و یافتن یک روش مناسب برای خشک کردن قارچ خوراکی که باعث تولید محصولی با کیفیت بالا شود، ضروری می باشد.

ابتدا قارچ های دکمه ای سفید (*Agaricus bisporus*) با قطر کلاهک ۵ سانتی متر تهیه و با آب سرد شستشوی سطحی داده و سپس آب سطحی آنها توسط دستمال تمیز گرفته شد. با افزایش ضخامت ماده غذایی کاهش هم زمانی در قابلیت انتقال امواج و افزایش در قابلیت جذب رخ می دهد و محصولات با ضخامت کم برای فراوری توسط پرتو مادون قرمز توصیه شده اند [۱۵]. لذا با یک چاقوی تیز، قارچ را به طور عمودی به ورقه هایی به ضخامت ۱ سانتی متر برش داده شد.

جهت خشک کردن نمونه های برش خورده با سامانه مادون قرمز - هوای داغ از متغیرهایی شامل توان های متفاوت لامپ مادون قرمز<sup>۱</sup> (۱۵۰، ۲۵۰ و ۳۷۵ وات) در فاصله ۵ سانتی متر از ورقه های قارچ، دمای هوای داغ (۵۰، ۶۰ و ۷۰ درجه سانتی گراد) و سرعت جريان هوا (۱، ۲ و ۳ متر بر ثانیه) استفاده شد. میزان کاهش وزن (WR)<sup>۷</sup>، از طریق معادله زیر محاسبه گردید.

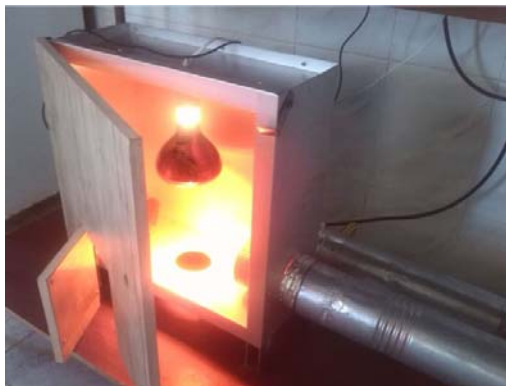
(۱)

$$WR = \frac{A_0 - A_t}{A_0} \times 100$$

WR: درصد کاهش وزن ورقه های قارچ

$A_0$ : جرم اولیه نمونه (gr)

$A_t$ : جرم نمونه بعد از خشک شدن (gr)



شکل ۱ خشک کن ترکیبی مادون قرمز - هوای داغ

### مدل سازی الگوریتم ژنتیک - شبکه عصبی

مدل سازی فرآیند خشک کردن قارچ دکمه ای به روش مادون قرمز جهت پیشگویی درصد کاهش وزن به روش الگوریتم ژنتیک - شبکه عصبی مصنوعی، توسط شبکه های عصبی سه لایه پرسپترون پیشخور انجام پذیرفت. نمونه ها در این نوع

ژنتیک<sup>۱</sup> در جهت غلبه بر این مشکل ذاتی شبکه های عصبی و به دست آوردن تعداد بهینه نمونه ها در لایه پنهان مورد استفاده قرار گیرند. الگوریتم ژنتیک الهام گرفته از طبیعت است و بر این اساس که بهترین ها حق بقا دارند، شکل گرفته است. مفاهیم اصلی GA شامل عملگرهای سه گانه انتخاب<sup>۲</sup>، آمیزش<sup>۳</sup> و جهش<sup>۴</sup> که در مورد سیستمهای مصنوعی بکار می روند می باشد. [۱۴-۱۲].

صالحی و همکاران (۱۳۹۲) به منظور پیشگویی کاهش وزن، کاهش آب و جذب مواد جامد، در طی خشک کردن اسمزی زردآللو، از مدل سازی الگوریتم ژنتیک - شبکه عصبی مصنوعی استفاده نمودند. نتایج این محققان نشان داد که بهترین مدل برای پیشگویی پارامترهای فوق دارای ۱ لایه پنهان و ۱۴ نمونه در هر لایه می باشد [۱۲].

تعداد مطالعات محدودی در خصوص کاربرد مدل سازی الگوریتم ژنتیک - شبکه عصبی مصنوعی برای مدل سازی فرآیندهای خشک کردن ترکیبی مواد غذایی گزارش شده است. لذا هدف این تحقیق بررسی اثر عوامل مختلف شامل توان لامپ پرتودهی مادون قرمز، دمای هوا، سرعت جريان هوا و زمان خشک کردن بر سیستم خشک کردن قارچ دکمه ای به روش ترکیبی مادون قرمز-هوای داغ می باشد. همچنین مدل سازی فرآیند با استفاده از مدل سازی الگوریتم ژنتیک - شبکه عصبی مصنوعی نیز بررسی می شود.

## ۲- مواد و روش ها

### خشک کردن

خشک کن ترکیبی مادون قرمز - هوای داغ در شکل ۱ به نمایش در آمده است. خشک کن طراحی شده قادر به کنترل دقیق دما و سرعت جريان هوا و رودی به اتاقک مادون قرمز می باشد. درون اتاقک نیز امکان تعییر توان لامپ جهت بررسی اثر این متغیر بر سرعت خشک کردن نمونه ها وجود دارد. همچنین جهت بررسی سینیتک خشک کردن، ترازوی دیجیتالی لوترون<sup>۵</sup> با قابلیت اتصال به کامپیوتر (با دقت g ± ۰/۰۱) هر یک دقیقه تعییرات وزن را ثبت می کند.

1. Genetic Algorithm(GA)

2. Selection

3. Crossover

4. Mutation

5. Digital balance, LutronGM-300p (Taiwan)

$$\text{Sig} = \frac{1}{1 + e^{-x}} \quad (3)$$

$$\tanh = \frac{e^x - e^{-x}}{e^x + e^{-x}} \quad (4)$$

به منظور ارزیابی شبکه عصبی استفاده شده پیشگویی پارامترهای مورد بررسی، از شاخص ضریب همبستگی<sup>۵</sup> استفاده گردید [۱۳]. نرم افزار نروسلولشن<sup>۶</sup> نسخه ۶ جهت مدلسازی الگوریتم رئنیک - شبکه عصبی استفاده گردید. در این نرم افزار با تغییر نوع تابع فعال سازی (تائزانت هیپربولیک، سیگموئیدی و خطی)؛ تعداد داده های استفاده شده جهت یادگیری، آزمون و ارزیابی و قاعده یادگیری لیونبرگ-مارکت<sup>۷</sup>، بهترین ساختار<sup>۸</sup> شبکه جهت دست یابی به شبکه بهینه بررسی شد.

### ۳- نتایج و بحث

#### خشک کردن

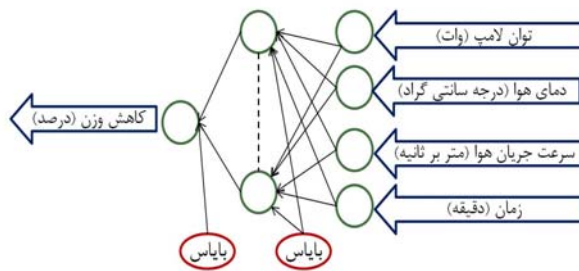
جهت بررسی اثر توان لامپ مادون قرمز بر سرعت خشک شدن ورقه های قارچ دکمه ای سفید، از سه لامپ مادون قرمز با توان های ۱۵۰، ۲۵۰ و ۳۷۵ وات استفاده گردید. همانطور که در شکل ۳ ملاحظه می شود، در مدت زمان ۵۰ دقیقه، با افزایش توان لامپ از ۱۵۰ به ۳۷۵ وات، مقدار کاهش وزن ۴/۲ درصد افزایش می یابد (۳ متر بر ثانیه و ۷۰ درجه سانتی گراد). در مطالعه مشابهی، هیار و همکاران (۴) از یک خشک کن ترکیبی مادون قرمز با هوای داغ در سه حالت ترکیبی، مادون قرمز به تنها یک هوای داغ به تنها یک برای خشک کردن سبب زیمنی و هویج استفاده کردند. نتایج بدست آمده حاکی از کاهش زمان خشک شدن و کاهش انرژی مصرفی در خشک کن ترکیبی نسبت به مادون قرمز و هوای داغ بود [۱۶].

شبکه در سه لایه ورودی، پنهان و خروجی دسته بندی می شوند. خروجی نرون های لایه پنهان و خروجی (y) از طریق افزایش بایاس<sup>۹</sup> به مجموع ورودی های وزن دار شده با استفاده از رابطه ۲ محاسبه می شود [۱۳].

$$y_j = \sum_{i=1}^p f(W_{ij}x_i + b_j) \quad (2)$$

در معادله فوق  $z_j$  ضریب وزنی نرون شماره ۱ که به نرون شماره  $j$  متصل است، می باشد. p تعداد ورودی های هر نرون و  $b_j$  بردار بایاس نرون  $j$  است.

در این مطالعه چهار ورودی (توان لامپ، دمای هوای سرعت جریان هوای زمان خشک کردن) و یک خروجی (درصد کاهش وزن) در نظر گرفته شد (شکل ۲). تعداد نرون های لایه پنهان وابسته به کاربرد شبکه و شرایط تعیین پارامترهای شبکه داد. برای رسیدن به ترکیبی مناسب از تعداد نرون ها در لایه پنهان که حداقل خطرا در بر داشته باشد، فرآیند بهینه سازی تعداد نرون ها در لایه پنهان شبکه عصبی به روش الگوریتم رئنیک انجام گرفت. جمعیت اولیه برای تولید نسل ها ۱۰۰ و حداقل تعداد نسل ها نیز ۱۰۰ نسل در نظر گرفته شده است. احتمال آمیزش و جهش بر اساس توصیه راهنمای نرم افزار، ۰/۰۱ و ۰/۰۱؛ و تعداد نرون ها جهت بهینه سازی ۱ تا ۳۰ عدد در نظر گرفته شد. از توابع فعال سازی خطی، سیگموئیدی<sup>۳</sup> (رابطه ۳) و تائزانت هیپربولیک<sup>۴</sup> (رابطه ۴) که متداول ترین نوع توابع فعال سازی هستند و روش بهینه سازی لونبرگ-مارکوت در لایه پنهان و خروجی استفاده گردید [۱۴-۱۲].



شکل ۲ شماتیک سیستم الگوریتم رئنیک - شبکه عصبی مصنوعی استفاده شده در این مطالعه

5. Correlation coefficient (r)

6. Neurosolution software (Excel software release 6.0),

NeuroDimension, Inc., USA

7. Levenberg–Marquardt (LM)

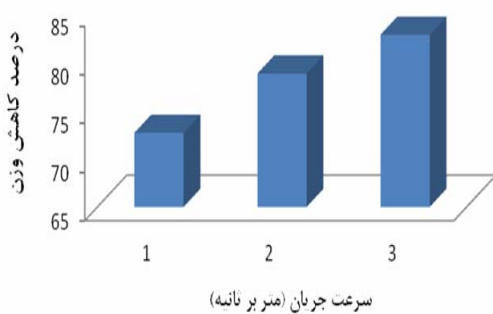
8. Topology

1. Bias

2. Activation function

3. Sigmoid functions

4. Hyperbolic tangent function



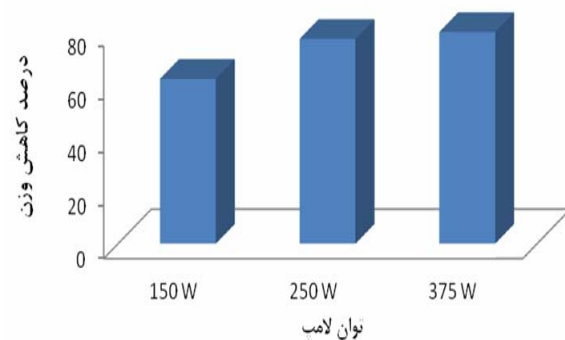
شکل ۵ اثر سرعت جریان هوای داغ بر کاهش وزن ورقه های  
قارچ (۷۰ درجه سانتی گراد، ۶۰ دقیقه و ۲۵۰ وات)

### مدل سازی

به منظور پیشگویی درصد کاهش وزن در طی خشک کردن قارچ دکمه ای به روش مادون قرمز - هوای داغ از مدل سازی الگوریتم ژنتیک - شبکه عصبی مصنوعی استفاده گردید. توان این دکمه ای دمای هوای داغ، سرعت جریان هوای داغ، سرعت خشک کردن به عنوان ورودی های شبکه در نظر گرفته شدند و درصد کاهش وزن به عنوان خروجی شبکه انتخاب گردید. با توجه به مقدار خطای کمتری که با استفاده تابع فعال سازی سیگموئیدی بدست آمد، این نوع تابع به عنوان تابع فعال سازی در لایه پنهان و خروجی انتخاب گردید.

بر اساس روش آزمون و خطا مشخص شد در صورتی که ۲۰ درصد داده ها برای آموزش استفاده گردد، شبکه به خوبی قادر به یادگیری روابط بین ورودی ها و خروجی ها می باشد. ۲۰ درصد داده ها هم برای آزمون شبکه آموزش دیده استفاده گردید. به منظور ارزیابی شبکه هم از ۶۰ درصد باقی مانده داده ها استفاده گردید. نتایج این پژوهش نشان داد که شبکه عصبی مصنوعی دارای ۷ نمون در لایه پنهان می تواند به خوبی درصد کاهش وزن ( $R=0.99$ ) در طی فرآیند خشک کردن خشک کردن قارچ دکمه ای به روش مادون قرمز - هوای داغ را پیشگویی نماید.

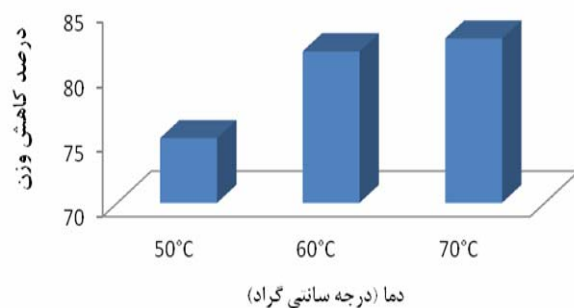
هدف از فرآیند آموزش شبکه عصبی مصنوعی به دست آوردن بردارهای وزن و بایاس شبکه عصبی بهینه است. در جدول ۱، مقادیر وزن ها و بایاس های متناظر با هر نمون برای شبکه عصبی دارای ۷ نمون در لایه پنهان آورده شده است.



شکل ۳ اثر توان لامپ مادون قرمز بر کاهش وزن قارچ دکمه ای

(۳ متر بر ثانیه، ۷۰ درجه سانتی گراد و ۵۰ دقیقه)

در شکل ۴ اثر دمای هوای داغ بر درصد کاهش وزن ورقه های قارچ به نمایش در آمده است. همانطور که ملاحظه می شود با افزایش دمای هوای داغ، سرعت خشک شدن و کاهش رطوبت نمونه های قارچ افزایش می یابد. با افزایش دمای هوای داغ از ۵۰ به ۷۰ درجه سانتی گراد، مقدار کاهش وزن به ۷۵٪ به ۸۲٪ درصد افزایش یافت (۱ متر بر ثانیه، ۶۰ دقیقه و ۳۷۵ وات).



شکل ۴ اثر دمای هوای داغ بر کاهش وزن ورقه های قارچ (۱

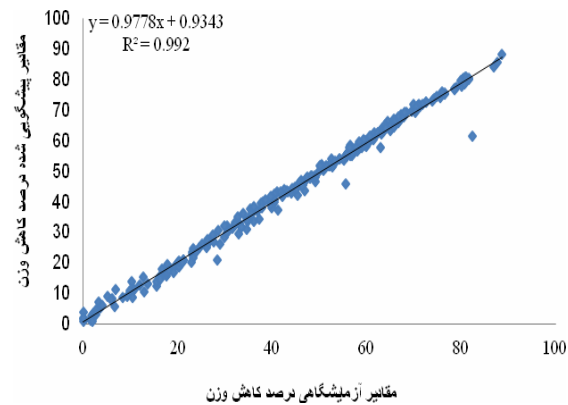
متر بر ثانیه، ۶۰ دقیقه و ۳۷۵ وات)

در شکل ۵ اثر سرعت جریان هوای داغ بر درصد کاهش وزن ورقه های قارچ دکمه ای به نمایش در آمده است. با افزایش سرعت جریان هوا از ۱ به ۳ متر بر ثانیه، سرعت خشک شدن ۱۳٪ درصد افزایش یافت (۷۰ درجه سانتی گراد، ۶۰ دقیقه و ۲۵۰ وات). با افزایش زمان خشک شدن نیز، مقدار رطوبت خارج شده از نمونه ها افزایش می یابد. همانطور که ملاحظه می شود.

شده را مورد آزمون قرار داده و نتایج گزارش شده نشان داد شبکه ای با تعداد ۱۴ نرون در یک لایه پنهان به خوبی درصد کاهش وزن ( $R=0.98$ )، درصد کاهش آب ( $R=0.97$ ) و مقادیر جذب مواد جامد ( $R=0.96$ ) در طی فرآیند خشک کردن اسمزی زردآلو را پیشگویی نماید. این مدل می تواند به منظور تولید محصولی با کیفت مطلوب، طراحی مناسب تجهیزات فرآوری و بهینه سازی فرآیند مورد استفاده قرار گیرد [۱۲].

ارتورک و همکاران نیز از روش های الگوریتم ژنتیک و شبکه عصبی مصنوعی جهت مدلسازی فرآیند خشک کردن هویج استفاده نمودند [۱۶]. نتایج این محققان حاکی از قدرت بالای این روش جهت مدلسازی فرآیندهای خشک کردن مواد غذایی می باشد. همچنین لرتوراسیریکل و همکاران مدل سازی انتقال جرم آبگیری اسمزی پوست لیموی آفریقایی را توسط شبکه عصبی مصنوعی مورد بررسی قرار دادند. نتایج پیش بینی میزان دفع آب و جذب مواد جامد توسط شبکه عصبی چند لایه با سه ورودی (دماء، زمان غوطه وری در محلول اسمزی و غلظت مواد جامد) نشان داد که بهترین شبکه با کمترین مجموع مربعات خطای برابر  $0.00066$  و بیشترین میانگین ضریب رگرسیون  $0.9725$  با یک لایه مخفی و پنج نرون و روش بهینه سازی لیونبرگ-مارکوت به بدست می آید [۱۷].

مقادیر واقعی داده های ارزیابی ( $60$  درصد داده استفاده نشده توسط شبکه) و پیشگویی شده درصد کاهش وزن توسط شبکه عصبی بهینه ( $4/71$ ) در شکل ۶ نشان داده شده است.



شکل ۶ مقادیر تجربی داده های ارزیابی در برابر مقادیر پیشگویی شده درصد کاهش وزن طی خشک کردن قارچ دکمه ای به روش مادون قرمز-هوای داغ

مقدار بالای ضریب همبستگی نشان دهنده کارایی بالای شبکه عصبی مصنوعی می باشد. صالحی و همکاران (۱۳۹۲) به بررسی مدلسازی فرآیند خشک کردن اسمزی زردآلو با استفاده از الگوریتم ژنتیک - شبکه عصبی مصنوعی پرداختند. ساختار های مختلف شبکه عصبی چند لایه پرسپترون برای پیشگویی انتقال جرم زردآلو آبگیری

جدول ۱ مقادیر وزن ها و بایاس های متناظر با هر نرون در مدل الگوریتم ژنتیک - شبکه عصبی مصنوعی نهایی.

نرون های خروجی	نرون های ورودی						بایاس	تعداد نرون لایه پنهان
	کاهش وزن	زمان	سرعت جریان هوای	دما هوا	توان لامپ			
-1/1063	-0/2689	-0/8952	1/1025	1/3685	0/3631		1	
-2/2791	0/6352	1/1129	-0/3256	0/5586	-1/9865		2	
-0/5689	-0/9685	1/9857	0/3631	1/3113	-0/3652		3	
0/3658	1/2082	-1/9757	3/9831	-0/0928	-1/9635		4	
1/6987	-3/1661	-0/4308	-0/0238	-3/1688	2/0515		5	
336	-3/2791	-2/4265	0/6324	0/5586	-0/3665		6	
1/8624	-1/6582	1/8562	-2/6582	1/3906	1/7385		7	
-1/4563								بایاس

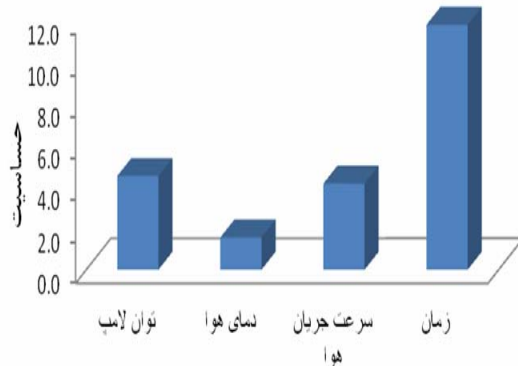
شود در میان متغیرهای ورودی، مدت زمان خشک کردن ورقه های قارچ به عنوان موثرترین عامل در هنگام پیشگویی درصد

به منظور بررسی مقدار تاثیر گذاری پارامترهای ورودی و شناسایی تاثیر گذارترین عامل، تست آنالیز حساسیت<sup>۱</sup> بر روی شبکه بهینه انجام شد. همانطوری که در شکل ۷ مشاهده می

## ۵- منابع

- [1] Yurttas, Z. S., Moreira, R. G. & Castell-Perez, E. 2014. Combined Vacuum Impregnation and Electron-Beam Irradiation Treatment to Extend the Storage Life of Sliced White Button Mushrooms (*Agaricus bisporus*), Journal of Food Science, 79 (1): 39-46.
- [2] FAO, (2011), Statistical Database. Available: <http://www.fao.org/>.
- [3] Kotwaliwale, N., Bakane, P., Verma A. 2007. Changes in textural and optical properties of Oyster mushroom during hot air drying. Journal of Food Engineering, 78 (4): 1207-1211.
- [4] Brennan, M., Le Port, G., Pulvirenti, A., Gormley, R. 2000. Post-harvest Treatment with Citric Acid or Hydrogen Peroxide to Extend the Shelf Life of Fresh Sliced Mushrooms, LWT-Food Science and Technology, 33: 285-289.
- [5] Angle, R.Y., Tamhane, D.V. 1974. Mushrooms: An exotic source of nutritious and palatable food. Indian Food Packer. 28(5): 22-28.
- [6] Giri, S. K., Prasad, S. 2007. Drying kinetics and rehydration characteristics of microwave-vacuum and convective hot-air dried mushroom. Journal of Food Engineering, 78 (2): 512-521.
- [7] Singh, U., Jain, S., Doshi, A., Jain, H., Chahar, V. 2008. Effects of Pretreatments on Drying Characteristics of Button Mushroom. Int. Journal of Food Engineering, 4(4), DOI: 10.2202/1556-3758.1179.
- [8] Lenart, A. 1996. Osmo-convective dring of fruits and vegetables, technology and application. Drying Technology. 14: 391-413.
- [9] Jun, S., Krishnamurthy, K., Irudayaraj, J., Demirci, A. 2011. Fundamentals and theory of infrared radiation. In: Pan, Z. Atungulu, G. G. (Eds.). Infrared heating for food and agricultural processing. New York. CRC press.
- [10] Nimmol,C., Devahastin, S. 2011. Vacuum infrared drying. In: Pan, Z. Atungulu, G. G. (Eds.), Infrared heating for food and agricultural processing. New York. CRC press.
- [11] Afzal M.T., Abe T., Hilida Y. 1999. Energy and quality Aspect during Combined

کاهش وزن در طی خشک کردن قارچ دکمه ای به روش مادون قرمز - هوای داغ می باشد.



شکل ۷ نتایج آنالیز حساسیت مدل‌سازی خشک کردن قارچ دکمه ای به روش مادون قرمز - هوای داغ

## ۴- نتیجه گیری

در این مطالعه اثر توان لامپ مادون قرمز، دما و سرعت جریان هوای بر خشک کردن قارچ دکمه ای به روش ترکیبی مادون قرمز-هوای داغ مورد بررسی قرار گرفت. هر سه متغیر ذکر شده بر مقدار خروج آب و کاهش وزن موثر هستند. با افزایش دما و سرعت جریان هوای ورودی به خشک کن، مقدار رطوبت خارج شده از نمونه ها افزایش یافته و سرعت خشک شدن افزایش می یابد. با افزایش توان لامپ مادون قرمز از ۱۵۰ به ۳۷۵ وات، مقدار کاهش وزن ورقه های قارچ ۲۸/۴ درصد افزایش یافت.

مدل سازی فرآیند خشک کردن ورقه های قارچ دکمه ای با استفاده از سامانه مادون قرمز-هوای داغ به روش الگوریتم ژنتیک-عصی مصنوعی حاکی از قدرت بالای این روش، جهت مدل سازی اینگونه فرآیندها می باشد. در این روش توان لامپ، دمای هوای سرعت جریان هوای زمان خشک کردن به عنوان ورودی های مدل و درصد کاهش وزن به عنوان خروجی شبکه در نظر گرفته شد. از روش الگوریتم ژنتیک جهت بهینه سازی تعداد نرون ها در لایه مخفی شبکه عصی مصنوعی استفاده گردید. نتایج نشان داد شبکه دارای ۷ نرون در یک لایه پنهان و با استفاده ازتابع فعال‌سازی سیگموئیدی در لایه پنهان و خروجی، شبکه به خوبی قادر به پیشگویی درصد کاهش وزن قارچ ها با ضریب همبستگی بالا (۹۹/۰) می باشد.

- [15] Erenturk, S., and Erenturk, K. 2007. Comparison of genetic algorithm and neural network approaches for drying process of carrot. *Journal of Food Engineering*, 78: 905-912.
- [16] Hebbar, H.U., Vishwanathan,K. H., Ramesh,M.N. 2004. Development of combined infrared and hot air dryer for vegetables. *Journal of Food Engineering*, 65: 557–563.
- [17] Lertworasirikul, S., and Saetan, S. 2010. Artificial neural network modeling of mass transfer during osmotic dehydration of kaffir lime peel. *Journal of Food Engineering*, 98: 214–223.
- FIR Convection Drying of Barely. *Journal of Food Engineering*, 42: 177-188.
- [12] Salehi, F., Abbasi Shahkoh, Z., Godarzi, M. 2014. Apricot Osmotic Drying Modeling Using Genetic Algorithm - Artificial Neural Network. *Journal of Innovation in Food Science and Technology*.
- [13] Salehi, F. & Razavi, S.M.A. 2012. Dynamic modeling of flux and total hydraulic resistance in nanofiltration treatment of regeneration waste brine using artificial neural network. *Desalination and Water Treatment*, 41: 95-104.
- [14] BahramParvar, M., Salehi, F. and Razavi, S.M.A. 2013. Predicting total acceptance of ice cream using artificial neural network. *Journal of Food Processing and Preservation*, 38(3): 1080-1088.

## Drying of button mushroom by infrared-hot air system

Salehi, F. <sup>1\*</sup>, Kashaninejad, M. <sup>2</sup>, Mahoonak, A. R. <sup>2</sup>, Ziaifar, A. M. <sup>3</sup>

1. Assistant Professor, Department of Food Science and Technology, Bu-Ali Sina University, Hamedan, Iran.
2. Associate Professor, Faculty of Food Science, Gorgan University of Agricultural Sciences and Natural Resources, Gorgan, Iran.
3. Assistant Professor, Faculty of Food Science, Gorgan University of Agricultural Sciences and Natural Resources, Gorgan, Iran.

(Received: 93/4/25 Accepted: 93/7/2)

In this study, the combination of infrared - hot air dryer was used for drying of button mushroom. The effect of infrared lamp power (150, 250 and 375 W), hot air temperature (50, 60 and 70 °C) and hot air rate (1, 2 and 3 m/s) on drying of button mushroom were investigated. The results of infrared-hot air drying of button mushrooms showed that by increasing of lamp power from 150 to 375, the drying rate increased. With the increase in hot air temperature from 50 to 70 °C, and hot air rate from 1 and 3 m/s, weight loss increased 10.3% and 13.9%, respectively. Also process modeling were done with the genetic algorithm–artificial neural network (GA-ANN) method with 4 inputs (lamp power, hot air temperature and rate, drying time) and 1 outputs for prediction of weight loss. Sensitivity analysis results by optimum GA-ANN showed the drying time of mushroom was the most sensitive factor for controlling of weight loss. The results of modeling by GA-ANN showed that a network with 7 neurons in the hidden layer with sigmoid activation function can predicted the weight loss ( $R=0.99$ ) of button mushrooms dried by infrared system-hot air method.

**Keywords:** Button mushroom, Drying, Hot air, Infrared, Neural network.

---

\* Corresponding Author E-Mail Address: fs1446@yahoo.com